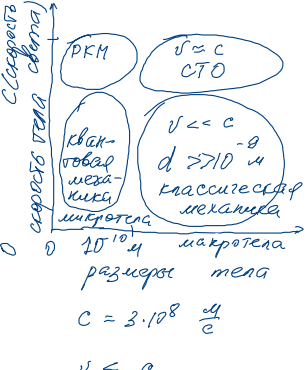


Квантовая механика



Уп-е изреди квант.

PKM - полемическая квантовая механика

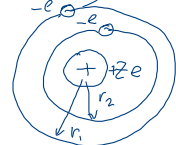
Уп-а физика

Модель атома по Резерфорду

однородная модель атома
(планетарная модель)

d_2 - радиус, радиус атома

(2 ядра и 2 протона)



$$\bar{a} = \frac{\bar{F}}{m}$$

$$\frac{v^2}{r} = \frac{2e \cdot e}{4\pi \epsilon_0 r^2} \frac{1}{m_e}$$

$$W = W_k + W_n ; \quad W_k = \frac{mv^2}{2}$$

e - эл. заряд

$$e = \pm 1,602 \cdot 10^{-19} \text{ Кл}$$

$$R_2 \approx 10^{-15} - 10^{-14} \text{ м}$$

$$R_{\text{ам}} \approx 10^{-10} \text{ м}$$

$$m_s \approx m_{\text{ам}}$$

$$m_e \ll m_s$$

m_e - масса электрона

$r; v$ - радиус параллель

D. И. Резерфорд
Док. Томск
J. Резерфорд
(1911)

1 Спектр атомов излучение поглощается

$$r = 10^{-10} \text{ м} \quad v \approx 10^6 \frac{\text{м}}{\text{с}} \quad a = \frac{v^2}{r} = 10^{22} \frac{\text{м}}{\text{с}^2}$$

должна излучаться энергия квантовская

Линейчатый спектр атома водорода (одноцветный)

Спектр излучения разреженных (спектр излучения обогащенных атомов) ионом ионизаций, в том числе спектр атома водорода.

Шведский ученый Н. Балмер (1825 - 1898) подобрал эмпирическую формулу, которая описывает спектральные линии в видимой части спектра.

$$\frac{1}{\lambda} = R' \left(\frac{1}{2^2} - \frac{1}{n^2} \right) \quad n = 3, 4, 5, \dots \quad R' = 1,1 \cdot 10^{-7} \text{ м}^{-1} - \text{постоянная Радберга}$$

$$\gamma = \frac{c}{\lambda} ; \quad \gamma = R \cdot \left(\frac{1}{2^2} - \frac{1}{n^2} \right) \quad R = R' \cdot c - \text{также постоянная Радберга}$$

Все спектральные линии отражают форму или формулы, называемые сериями Балмера

Далее были обнаружены еще несколько серии линий

Ультракоротковолновая область (серия Кашмена) $\Rightarrow \nu = R \left(\frac{1}{1^2} - \frac{1}{n^2} \right); n=2,3,4, \dots$

Инфракрасная область (серия Башена) $\Rightarrow \nu = R \left(\frac{1}{3^2} - \frac{1}{n^2} \right); n=4,5,6, \dots$

(Серия брахема) $\Rightarrow \nu = R \left(\frac{1}{4^2} - \frac{1}{n^2} \right); n=5,6,7, \dots$

(Серия Продига)

(Серия Хэмфори)

Обобщенная формула Бальмера $\Rightarrow \nu = R \left(\frac{1}{m^2} - \frac{1}{n^2} \right); m=1,2,3, \dots$

m - определяет серию

$n = m+1; m+2; m+3; \dots$

n определяет отдельные линии спектра

Составные спектры пары членов шестиполь и тетраполя определенные закономерностью. В рамках классической природы эти закономерности описание не удается

Теория атома Борга на Бору

Н. Бор 1913

Для пояснения

I поясняет, посредством сплошных координат?

$$m_e v r_n = n \hbar \quad \hbar = \frac{h}{2\pi}; n=1, 2, 3, \dots$$

Может получаться что-то в этом
применяется дискретные значения
квантовых

II пояснение
громом

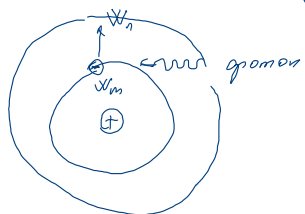
$$\hbar) = W_n - W_m$$

W_n и W_m — значение энергии оптического излучения,
находящегося на сплошных орбитах



$$W_n > W_m$$

$$\nu = \frac{W_n - W_m}{\hbar}$$

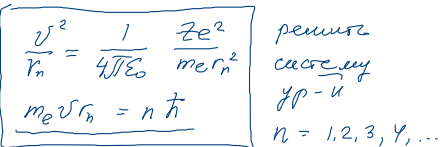


Богородоподобной атома

заряд ядра Ze
один электрон e

$$a = \frac{F}{m_e}, \quad \frac{v^2}{r} = \frac{F_e}{m_e}$$

$$F_e = \frac{1}{4\pi\epsilon_0} \frac{Z e \cdot e}{r^2}$$



$$r_n = n^2 \frac{\hbar^2 4\pi\epsilon_0}{m_e Z e^2}; \quad n = 1, 2, 3, \dots$$

квантовое число

$$r_h \sim n^2$$

Атом Богорода $Z=1; n=1$

$r_1 = 52.8 \text{ nm}$ — первая боровская радиуса

$$W = W_{\text{нор}} + W_R = \frac{mv^2}{2} + \left(-\frac{Ze^2}{4\pi\epsilon_0 r} \right)$$

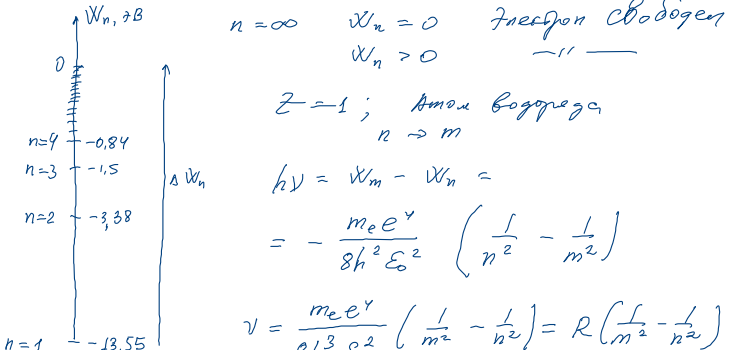
$$W_n = -\frac{1}{n^2} \frac{Z^2 m_e e^4}{8\pi\epsilon_0^2 r^2}; \quad n = 1, 2, 3, \dots$$

$$1.7 \cdot B = 1.62 \cdot 10^{-19} \text{ нс}$$

$W_n < 0$ и W_n определяет об заряда

$$Z=1$$

$n = 1$ основное состояние
 $n > 1$ возбужденное состояние



$Z=1$; Атом Богорода
 $n \rightarrow m$

$$\Delta V = W_m - W_n =$$

$$= -\frac{m_e e^4}{8\pi\epsilon_0^2 r^2} \left(\frac{1}{n^2} - \frac{1}{m^2} \right)$$

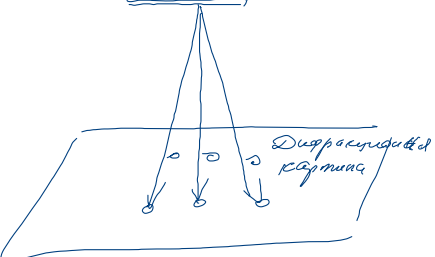
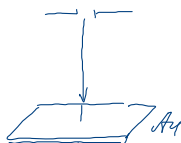
$$V = \frac{m_e e^4}{8\pi\epsilon_0^2 r^2} \left(\frac{1}{m^2} - \frac{1}{n^2} \right) = R \left(\frac{1}{m^2} - \frac{1}{n^2} \right)$$

$$R = \frac{m_e e^4}{8\pi\epsilon_0^2 r^2} - постоянная Рэдберга$$

сохраняется экспериментом

Корпукуперто - волновой гамма источник

Ф.Р.
генона
Луи де Броиль 1892 - 1987
1923.



Корпукупертое характеристики:
масса m
импульс p
период λ
длина волны λ
скорость излучения v

$$m, p, \lambda, v$$

$$W = h\nu ; \quad p = \frac{h}{\lambda}$$

$$\lambda = vT = \frac{v}{\nu}$$

Бонна же Броиль

$$W = mc^2$$

$$\lambda = \frac{h}{p}$$

1948г ~ Рассел - фабрикация

$$m = 10^{-3} \text{ кг} \quad v = 1 \frac{\text{м}}{\text{с}}$$

$$p = mv \quad \lambda = \frac{h}{p}$$

$$\lambda = 6,62 \cdot 10^{-31} \text{ м}$$

$$W = h\nu$$

Соотношение неопределенностей (Гейзенберга)

$$p = m v$$

Классическая механика

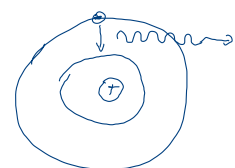
$$(x, y, z); p = m v$$

$$\vec{v} = v_x \hat{i} + v_y \hat{j} + v_z \hat{k}$$

$$i = j = k = 1$$

Квантовая механика

$$p = \frac{h}{\lambda} \quad \lambda = \frac{h}{p}$$



$$W = h\nu$$

$$v = \frac{W}{h}$$

$$\Delta V = \frac{\Delta W}{h}$$

В. Гейзенберг (1927г.)

Объект микроскопа (макрообъект) нельзя одновременно с любой заданной точностью измерять по координатам и импульсам

Соотношения неопределенностей

x	Δx	p_x	Δp_x	$\left\{ \begin{array}{l} \Delta x \cdot \Delta p_x \geq h \\ \Delta y \cdot \Delta p_y \geq h \\ \Delta z \cdot \Delta p_z \geq h \end{array} \right.$
y	Δy	p_y	Δp_y	
z	Δz	p_z	Δp_z	

Макрообъект не имеет и не имеет одновременно определенную координату и определенную проекцию импульса

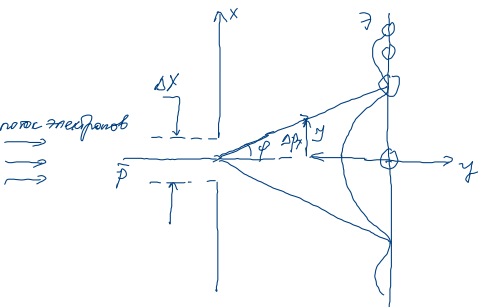
$$\Delta x = 0 \quad \Delta p_x \rightarrow \infty$$

$\Delta W \cdot \Delta t \geq h$

ΔW - неопределенность энергии квантового состояния частицы

Δt - существует времена в течение которых это состояние существует

Доказывание \rightarrow неопределенности координат и соответствуя им проекции импульса не может быть меньшей величины порядка постоянной Планка



Путь проходит через зеву именем Δx . Каждое изображение на экране содержит дифракционную картину.

Главное изображение, побочное изображение не воспроизводится

$$\Delta p_x = p \sin \varphi = \frac{h}{\lambda} \sin \varphi$$

До прохождения цели

$p_x = 0$; $\Delta p_x = 0$ - энергия зевом не будет

$$\Delta x \cdot \Delta p_x \geq h$$

При прохождении через цели

положение определяется с погрешностью Δx - амплитуда цели. Энергия определяется от исходного направления из-за дифракции и фокусируется в пределах угла 2φ

$$\Delta p_x = p \sin \varphi = \frac{h}{\lambda} \sin \varphi$$

расстояние для простоты первое? \min , т.к. соответствует условиям

$$\Delta x \cdot \sin \varphi = \lambda \quad \Delta x = \frac{\lambda}{\sin \varphi}$$

$$\Delta p_x = \frac{h}{\lambda} \sin \varphi$$

$$\Delta x = \frac{\lambda}{\sin \varphi}$$

перемножаем

$$\Delta p_x \cdot \Delta x = h$$

где се за т.к. отклонение на боячий
максимум, т.е.

$$\Delta x \cdot \Delta p_x \geq h - \text{согласие неопределенности}$$

Согласие неопределенности ограничено применностью классической механики к макрообъектам. Рассмотрим пример

$$\Delta x \cdot \Delta p_x \geq h \quad \Delta x \cdot \Delta(m v_x) \geq h \quad \Delta x \cdot \Delta v_x \geq \frac{h}{m}$$

1. Феномен $m = 10^{-12} \text{ кг}$ $\ell = 10^{-6} \text{ м}$

$$\Delta x = 0,01 \ell \quad \Delta x = 10^{-8} \text{ м} \quad \Delta v_x = \frac{h}{m \Delta x} = 6,62 \cdot 10^{-37} \frac{\text{нм}}{\text{с}}$$

2. Феномен $m = 9,11 \cdot 10^{-31} \text{ кг}$

$$v_x = 10^8 \frac{\text{м}}{\text{с}} \quad \Delta v_x = 0,01\% \text{ от } v_x; \quad \Delta v_x = 10^4 \frac{\text{м}}{\text{с}} \quad \Delta x = \frac{h}{m \Delta v_x} = 7,27 \cdot 10^{-6} \text{ м}$$

3. Электрон в аноме Боголюбова

$$\Delta x = 10^{-10} \text{ м} \quad m = 9,11 \cdot 10^{-31} \text{ кг} \quad \Delta v = 7,2 \cdot 10^8 \frac{\text{м}}{\text{с}} \quad v = 2,3 \cdot 10^6 \frac{\text{м}}{\text{с}}$$

$$\Delta v \approx v$$

Волновая функция и её статистический смысл

1900 - 1920

M. Frank (неи)

F. Шредингер (авер)

B. Тейзенберг (неи)

N. Дорак (анн.)

M. Борн (1926) (неи)

$$\lambda = \frac{h}{P}$$

Борна же Борн

M. Борн предположил, что по волновому закону
меняется величина вероятности или
волновая функция $\Psi(x, y, z, t)$

Вероятность для частицы $\Psi^2(x, y, z, t)$; $P \sim \Psi^2$

$$|\Psi|^2 = \Psi \Psi^*$$

В квантовой механике состояние микрочастиц описывается с помощью волновой функции, которая имеет статистический смысл

$dP = |\Psi|^2 \cdot dV \Leftarrow$ вероятность находиться частице в объеме dV

→ $\int_{-\infty}^{\infty} dP = 1 \quad \int_{-\infty}^{\infty} |\Psi|^2 dV = 1 \Leftarrow$ условие нормирован

Волновая функция $\Psi(x, y, z, t)$ должна быть конечной, однозначной, непрерывной

$$\bar{a} = \frac{\bar{F}}{m}$$

$$\bar{a} = \frac{d^2\bar{r}}{dt^2} = \frac{d^2x}{dt^2}\bar{i} + \frac{d^2y}{dt^2}\bar{j} + \frac{d^2z}{dt^2}\bar{k}$$

$$m\bar{a} = m \cdot \left(\frac{d^2x}{dt^2}\bar{i} + \frac{d^2y}{dt^2}\bar{j} + \frac{d^2z}{dt^2}\bar{k} \right) = \bar{F}$$

Движение в неравнодействии zone

\mathcal{W}_n - неравнодействие - энергия

$$\mathcal{W}_n = \mathcal{W}_n(x, y, z) \quad \bar{F} = -\overline{\text{grad}}(\mathcal{W}_n) = -\left(\frac{\partial \mathcal{W}_n}{\partial x}\bar{i} + \frac{\partial \mathcal{W}_n}{\partial y}\bar{j} + \frac{\partial \mathcal{W}_n}{\partial z}\bar{k}\right)$$

$$m\left(\frac{d^2x}{dt^2}\bar{i} + \frac{d^2y}{dt^2}\bar{j} + \frac{d^2z}{dt^2}\bar{k}\right) = -\left(\frac{\partial \mathcal{W}_n}{\partial x}\bar{i} + \frac{\partial \mathcal{W}_n}{\partial y}\bar{j} + \frac{\partial \mathcal{W}_n}{\partial z}\bar{k}\right)$$

$$\begin{aligned} x &= x(t) \\ y &= y(t) \\ z &= z(t) \end{aligned}$$

Закон движения
материала

Уравнение Шредингера (波动ное уравнение)

$$-\frac{\hbar^2}{2m} \Delta \Psi + U(x, y, z, t) \cdot \Psi = i\hbar \frac{\partial \Psi}{\partial t}$$

$$\hbar = \frac{h}{2\pi}$$

m - масса микрочастицы

$$i^2 = -1$$

$U(x, y, z, t)$ - потенциальная энергия

$\Psi(x, y, z, t)$ - волна вибраций

$$\Delta \Psi = \frac{\partial^2 \Psi}{\partial x^2} + \frac{\partial^2 \Psi}{\partial y^2} + \frac{\partial^2 \Psi}{\partial z^2}$$

Δ - оператор Лапласа

$$\Delta = \frac{\partial^2}{\partial x^2} + \frac{\partial^2}{\partial y^2} + \frac{\partial^2}{\partial z^2}$$

Ψ допускает формы:

- однодимитной
- комплексной
- квадратичной

$$dP = |\Psi|^2 dV$$

$$P = \int_V |\Psi|^2 dV$$

$U(x, y, z, t)$ - потенциальная функция микрочастицы в сферических координатах

$U(x, y, z)$ - стационарное поле

Уравнение Шредингера для стационарных состояний

$$U = U(x, y, z)$$

$$\Psi(x, y, z, t) = \psi(x, y, z) \cdot e^{-i \frac{E}{\hbar} t}$$

E - полная энергия электрона

$$-\frac{\hbar^2}{2m} \cdot e^{-i \frac{E}{\hbar} t} \Delta \psi + U(x, y, z) \cdot \psi \cdot e^{-i \frac{E}{\hbar} t} = i\hbar \left(-i \frac{E}{\hbar}\right) \psi e^{-i \frac{E}{\hbar} t}$$

$$\Delta \psi + \frac{2m}{\hbar^2} (E - U) \psi = 0$$

Ур-е Шредингера для \rightarrow
стационарных состояний

Ур-е Шр. имеет решение лишь при определенных подборах значений полной энергии E .

Эти значения энергии называются собственными значениями.

Все остальные, соответствующие этим собственным значениям энергии называются собственными функциями.

Собственные значения энергии могут образовываться дискретной либо непрерывной seq.

Движение свободной электронной частицы

$$U(x, y, z) = 0 \quad E = U + E_{\text{kin}} = E_{\text{kin}}$$

$$\Delta \psi + \frac{2m}{\hbar^2} E \psi = 0$$

Рассмотрим движение частицы вдоль оси x
 $\psi = \psi(x)$

$$\frac{\partial^2 \psi}{\partial x^2} + \frac{2m}{\hbar^2} E \psi = 0 \Rightarrow \left(\frac{\partial^2 \psi}{\partial x^2} + \frac{2m}{\hbar^2} E \right) \psi = 0$$

$$\frac{d\psi}{dx} = ikAe^{ikx}$$

$$\frac{d^2\psi}{dx^2} = i^2 k^2 A^2 e^{ikx} = -k^2 A^2 e^{ikx}$$

$$-k^2 A^2 e^{ikx} + \frac{2m}{\hbar^2} E A e^{ikx} = 0$$

$$e^{ikx} \left(-k^2 + \frac{2m}{\hbar^2} E \right) = 0$$

$$-k^2 + \frac{2m}{\hbar^2} E = 0$$

$$E = \frac{\hbar^2 k^2}{2m} - \text{собственные значения энергии}$$

$$\psi(x) = A e^{ikx} \quad A = \text{const}; \quad k = \text{const}$$

$$\Psi(x, t) = A \cdot e^{ikx} \cdot e^{-i \frac{E}{\hbar} t}$$

$$\Psi(x, t) = A e^{i(kx - \frac{E}{\hbar} t)}$$

$$\frac{E}{\hbar} = \omega \quad p_x = k\hbar \quad k = \frac{p_x}{\hbar}$$

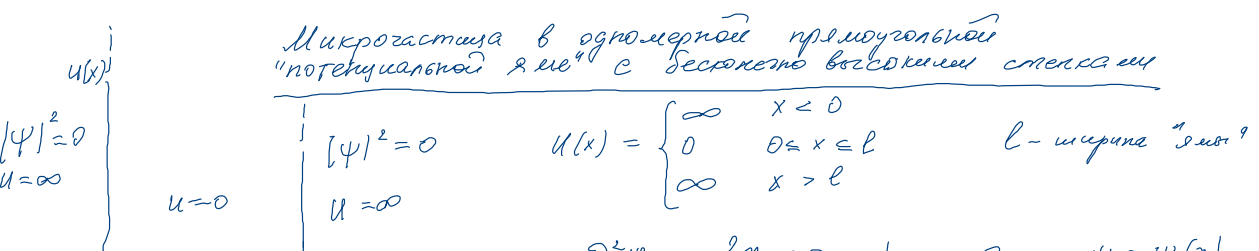
$$\Psi(x, t) = A e^{-\frac{i}{\hbar} (Et - px - x)}$$

такое естественное монохроматическое волна не бывает

$$E = \frac{\hbar^2 k^2}{2m} = \frac{\hbar^2 p_x^2}{\hbar^2 2m} = \frac{p_x^2}{2m}$$

$$|\psi|^2 = \psi \psi^* = |A|^2$$

$$E = \frac{p_x^2}{2m}$$



$$\frac{\partial^2 \psi}{\partial x^2} + \frac{2m}{\hbar^2} (E - U) \psi = 0 \quad \psi = \psi(x)$$

Задача находитя в "зоне" $(0 - e)$

$$\psi(0) = \psi(e) = 0$$

$$\frac{d^2 \psi}{dx^2} + \frac{2m}{\hbar^2} E \psi = 0 \quad \text{на } (0 - e)$$

$$\frac{d^2 \psi}{dx^2} + k^2 \psi; \quad k^2 = \frac{2mE}{\hbar^2}$$

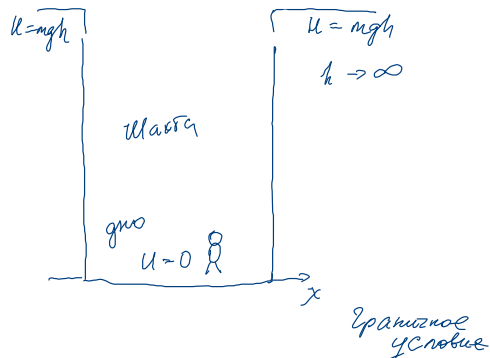
$$\psi(x) = A \sin kx + B \cos kx$$

$$\psi(0) = 0 \quad B = 0$$

$$\psi = A \sin kx$$

$$\psi(e) = 0 \quad A \sin ke = 0 \quad ke = n\pi$$

$$k = \frac{n\pi}{e}$$



$$k^2 = \frac{2mE}{\hbar^2}$$

$$k^2 = \frac{2mE}{\hbar^2} = \frac{n^2 f^2 h^2}{e^2}$$

$$E_n = \frac{n^2 f^2 h^2}{2me^2}$$

собственное значение
энергии образуется
дискретным рег

$$\psi_n(x) = A \sin kx = A \sin \frac{n\pi}{l} x$$

а - ?

$$P = \int_0^l |\psi_n|^2 dx = 1$$

- генерация нормированы

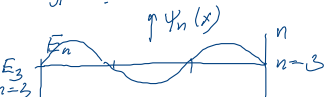
$$A^2 \int_0^l \sin^2 \frac{n\pi}{l} x dx = 1$$

$$A = \sqrt{\frac{2}{l}}$$

$$\psi_n(x) = \sqrt{\frac{2}{l}} \cdot \sin \frac{n\pi}{l} x$$

$$E_n = \frac{n^2 f^2 h^2}{2me^2}$$

$$n = 1, 2, 3, 4, \dots$$



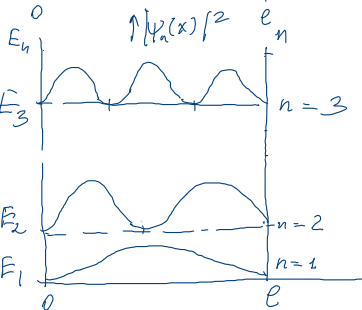
$$\Delta E_n = E_{n+1} - E_n$$

$$\Delta E_n \approx \frac{f^2 h^2}{me^2} n$$

закон

$$1. \quad l = 10 \text{ cm} = 0,1 \text{ м}$$

$$\Delta E_n = 10^{-16} n \text{ эВ}$$



2. Для 6 атомов
богородка

$$l = 10^{-10} \text{ м}$$

$$\Delta E_n = 10^2 n \text{ эВ}$$

Атом водорода в квантовой механике

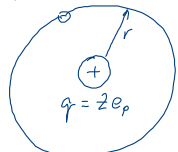
$$\Delta\psi + \frac{2m}{\hbar^2} (E - u)\psi = 0$$

$$\psi = \psi(x, y, z)$$

Атом водорода



Водородоподобной атом



$$e_p = e = 1,602 \cdot 10^{-19} \text{库伦}$$

$$U(r) = -\frac{ze^2}{4\pi\epsilon_0 r}$$

$$z=1$$

$$U(r) = \frac{e^2}{4\pi\epsilon_0 r}$$

$$\psi = \psi(x, y, z)$$

U - потенциальная энергия

E - полная энергия

$$\Delta\psi + \frac{2m}{\hbar^2} \left(E + \frac{ze^2}{4\pi\epsilon_0 r} \right) \psi = 0 \quad \& \quad E_n = -\frac{1}{n^2} \frac{Z^2 m e^4}{8\pi^2 \epsilon_0^2} \quad n=1, 2, 3, 4, \dots$$

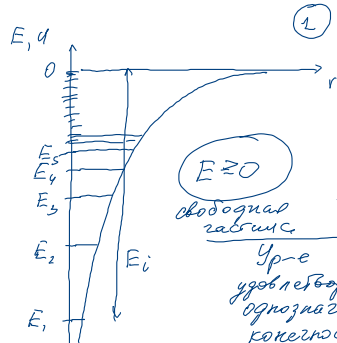
$$z=1$$

$$\Delta\psi + \frac{2m}{\hbar^2} \left(E + \frac{e^2}{4\pi\epsilon_0 r} \right) \psi = 0 \quad \& \quad E > 0 \quad \text{непрерывный рег}$$

n - слабое квантовое число

$$n \rightarrow \infty; E \rightarrow 0 \quad E_i = -E_1 = 13,55 \text{ эВ}$$

E_i - дискретные значения



$n=1; E_1 = -13,55 \text{ эВ}$
основной уровень

$n=2, 3, 4, 5, \dots$

$E_2; E_3; E_4; E_5 \dots$
возбужденные уровни

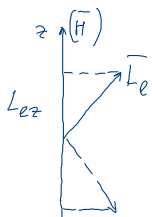
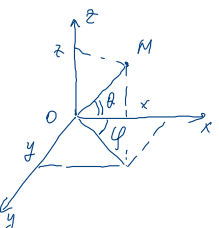
Ур-е Ш. имеет решение, удовлетворяющее условиям однозначности, непрерывности, конечности при собственных значениях параметров

② Квантовое число

$$\psi(x, y, z) \rightarrow \psi(r, \theta, \varphi)$$

$$\Psi_{n,l,m}(r, \theta, \varphi); \text{где } n - \text{ главное квантовое число}$$

Стереоскап система координат
 $(r, \theta, \varphi) \Leftrightarrow (x, y, z)$



2. ℓ - орбитальное кв. число, определяет момент импульса электрона
 $L = mvr$ $p = mv$ - импульс электрона

$$L_e = \hbar \sqrt{\ell(\ell+1)} \quad \ell = 0, 1, 2, \dots (n-1)$$

n значения

L_e - бесконечная величина, орбитальное
 момент импульса
 Вектор L_e может принадлежать сфероидальному расположению в пространстве по отношению к вращающемуся направлению (направление мом. имп. или спин). Поле)

3. $L_{ez} = \hbar m_e$ m_e - магнитное кв. число
 Проекция L_e квантуется

$$m_e = 0; \pm 1; \pm 2; \pm 3; \dots, \pm \ell$$

$(2\ell+1)$ значений

При данном n $\ell = 0, 1, \dots (n-1)$, n значений

При данном ℓ $m_e = 0, \pm 1, \pm 2, \dots, \pm \ell$ $(2\ell+1)$ значений

$$\sum_{\ell=0}^{n-1} (2\ell+1) = n^2 \text{ значений}$$

$$\begin{array}{l} n=1 \\ n=2 \\ n=3 \end{array}$$

одна возможная $g=4$
 заряде — " —
 гибким — " —

$$\begin{array}{c} n \\ \ell \\ m_e \end{array} \begin{array}{c} \text{определен} \\ - // - \\ - // - \end{array} \begin{array}{c} \text{размер} \text{ искажения} \\ \text{заряду} \\ \text{ориентации} \end{array} \begin{array}{c} - // - \\ - // - \end{array}$$

B имеет симметрии характеризующиеся свойствами зеркаль

$\ell = 0$ s - симметрия

$\ell = 1$ p - симметрия

$\ell = 2$ d - симметрия

$\ell = 3$ f - симметрия

$\ell = 4$ g - симметрия

⋮

" n "

$n=1$; $s \rightarrow ls$

$n=2$ $s, p \rightarrow ls lp$

$n=1$ K оболочка

$n=2$ L оболочка

$n=3$ M оболочка

$n=4$ N —

$n=5$ O —

Спин мезонона. Спиновое квантовое число

Квантовое число
 n, l, m_e

D. Штеткин, В. Герзах

Наблюдаем расщепление
узкого пульса спиновых возбуждений
в ядерном магнитном поле на 2 пульса

S - спиновое; магнитное
число равен состоянию

D. Уинчес C. Гаудеман

Лю-к обладает собственным
механическим числом и
импульсом - спином

Spin - волок

Спин - квантовая величина
масса, заряд мезонона
Спин мезонона

\bar{L}_S - собственный момент импульса

$$L_S = \hbar \sqrt{s(s+1)} \quad (\text{векторная величина})$$

$$\bar{L}_S = -g \mu_S$$

s - спиновое квантовое число

$2s+1$ ориентации \bar{L}_S

$$2s+1 = 2; \quad s = \frac{1}{2}$$

$L_S \rightarrow \mu_S$ - собственный
магнитный момент

$$L_{Sz} = \hbar m_s$$

m_s - магнитное спиновое квантовое число

$$m_s = \pm \frac{1}{2}$$

$$\left\{ \begin{array}{l} n - \text{н. кв. число} \\ l - \text{орбит. кв. число} \\ m_e - \text{магн. кв. число} \\ (\text{орбит. магн. кв. число}) \\ m_s - \text{магн. спиновое кв. число} \end{array} \right.$$

n , 2n, кв. число	1	2	3	4	5
Символ оболочки	K	L	M	N	O
число 2n-под в оболочке	2	8	18	32	50
пространственное кв. число	0	0 1	0 1 2	0 1 2 3	0 1 2 3 4
Символ подоболочки	1s	2s 2p	3s 3p 3d	4s 4p 4d 4f	5s 5p 5d 5f 5g
число 2n-под в подоболочке	2	2 6	2 6 10	2 6 10 14	2 6 10 14 18

Принцип Пауна

(n, l, m_l, m_s) - кв. числа характеризуют состояние $2l$ -ког атома

$$Z(n, l, m_l; m_s) = 0, 1$$

Z - число операторов с кв. числом n, l, m_l, m_s

В системе не могут быть две одинаковых частиц с одинаковыми состояниями (n, l, m_l, m_s)

Переходы n -под в атоме удовлетворяют условиям $\Delta l = \pm 1$
 $\Delta m = 0, \pm 1$

Period	Gruppe z.B. zuckz.	Periodenzahl	$K_{n=1}$	$L_{n=2}$		$M_{n=3}$		
				$1S_{l=0}$	$2S_{l=0}$	$2P_{l=1}$	$3S_{l=0}$	$3P_{l=1}$
I	1 H	1						
	2 He	2						
II	3 Li	2	1					
	4 Be	2	2					
	5 B	2	2	1				
	6 C	2	2	2				
	7 N	2	2	3				
	8 O	2	2	4				
	9 F	2	2	5				
	10 Ne	2	2	6				
	11 Na	2	2	6	1			
	12 Mg	2	2	6	2			
III	13 Al	2	2	6	2	1		
	14 Si	2	2	6	2	2		
	15 P	2	2	6	2	3		
	16 S	2	2	6	2	4		
	17 Cl	2	2	6	2	5		
	18 Ar	2	2	6	2	6		
	19 K	2	2	6	2	6	-	1
	20 Ca	2	2	6	2	6	-	2
IV	21 Sc	2	2	6	2	6	1	2
	22 Ti	2	2	6	2	6	2	2
	23 V	2	2	6	2	6	3	2
	24 Cr	2	2	6	2	6	4	2
					:			

